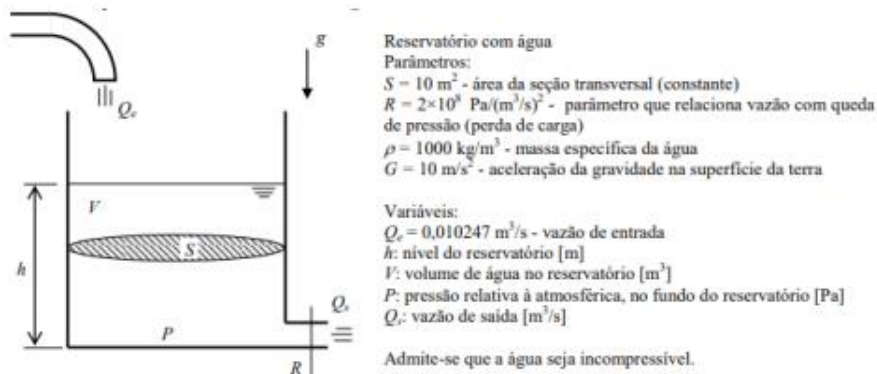


LISTA B

Nicolle Ferreira Hyppolito N°USP: 10823452

Exercício 1



Sendo:  $Q_s = \sqrt{\frac{P}{R}}$        $P = \rho gh$        $\dot{h} = \frac{-\sqrt{\frac{\rho gh}{R}} + Q_s}{S}$

Dados adotado:  $h_{inicial} = 0, t_f = 10000$  e  $h(\text{passo}) = 10$

• Código

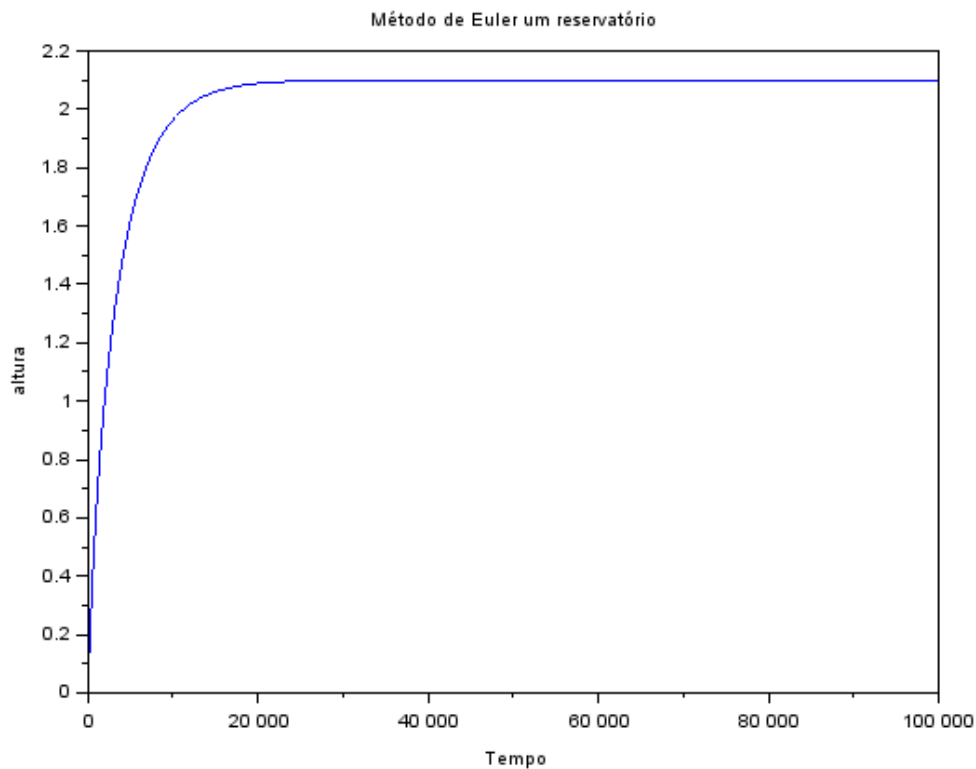
```
1 clear
2 //parâmetros-dados
3 Qe=0.010247;
4 rho=1000;
5 g=10;
6 R=2*10^8;
7 S=10;
8 //Definindo os parâmetros necessários
9 //instante inicial:
10 t(1)=0;
11 //instante final:
12 tf=10000;
13 //Condição inicial altura:
14 y(1)=0;
15 //para o método de euler:
16 y_e(1)=y(1);
17 //para o método de runge-kutta:
18 y_rk(1)=y(1);
19 //passo de integração:
20 h=10;
21 //numero de passos:
22 n=round((tf-t(1)/h));
23 //implementando a função dada
24 function ydot=funcao(y)
25     ydot=(-sqrt(rho*g*y/R)+Qe)*1/S;
26 endfunction
27
28 //Método de euler
29 for i=1:n
30     //Vetor tempo
31     t(i+1)=t(i)+h;
```

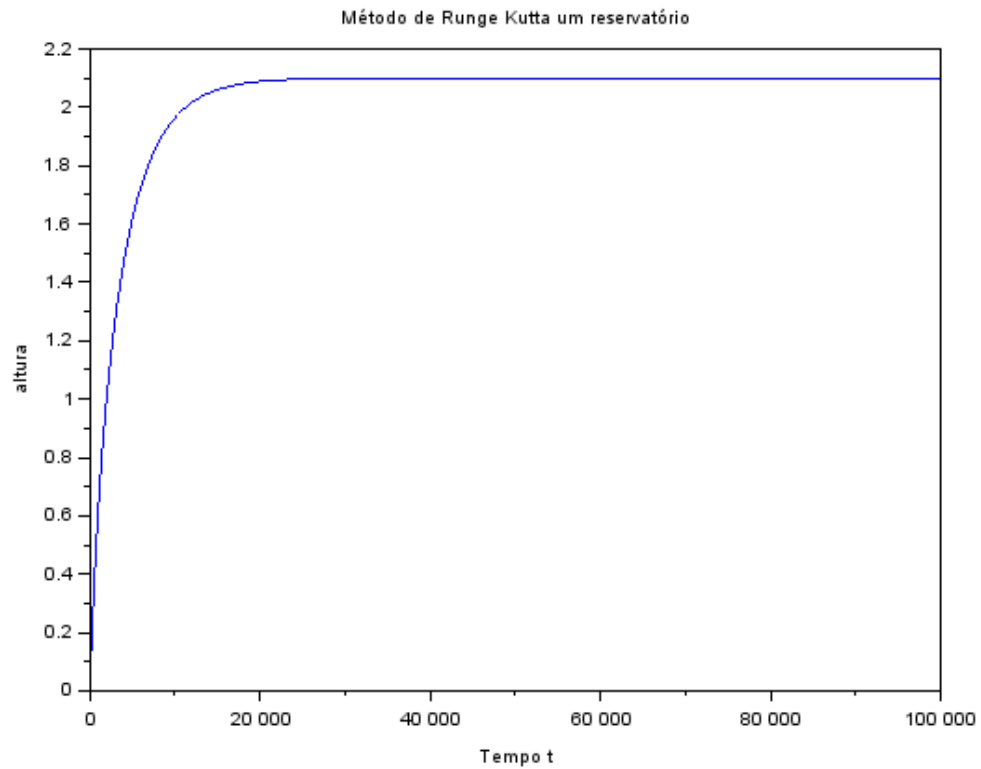
```

32 ....//solução-numérica
33 ....y_e(i+1)=y_e(i)+h*funcao(y_e(i));
34 end
35
36 //plotando-gráfico-para-o-método-de-euler-de-y-vs-tempo
37 scf(0)
38 xtitle("Método-de-Euler-um-reservatório","Tempo","altura")
39 plot(t,y_e);
40
41 //Método-de-Runge-kutta:
42 for i=1:n
43 ....//Vetor-tempo
44 ....t(i+1)=t(i)+h;
45 ....//Solução-numérica
46 ....k1=funcao(y_rk(i));
47 ....k2=funcao(y_rk(i)+k1*h/2);
48 ....k3=funcao(y_rk(i)+k2*h/2);
49 ....k4=funcao(y_rk(i)+k3*h);
50 ....y_rk(i+1)=y_rk(i)+h*funcao(y_rk(i));
51 end
52
53 //plotando-gráfico-para-o-método-de-euler-de-y-vs-tempo
54 scf(1)
55 xtitle("Método-de-Runge-Kutta-um-reservatório","Tempo","altura")
56 plot(t,y_e)

```

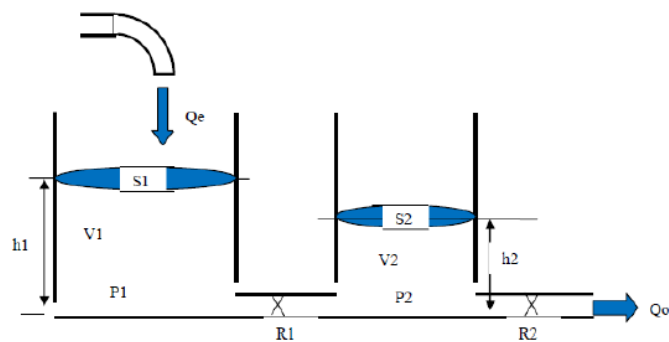
- Resultados





## Exercício 2

*Desenvolva um programa em Scilab que resolva numericamente o sistema de equações diferenciais que modela o sistema com dois reservatórios, usando tanto Euler como Runge Kutta. Dica: raciocine com vetores.*



**Dados adotado:  $h_{1\_inicial} = 0$ ,  $h_{2\_inicial} = 0$ ,  $tf = 10000$  e  $h(passo) = 10$**

- Código

```

57 clear
58 //parâmetros-dados
59 Qe=0.010247;
60 rho=1000;
61 g=10;
62 R=2*10^8;
63 S=10;
64 //Definindo-os-parametros-necessarios
65 //instante-inicial:
66 t(1)=0;
67 //instante-final:
68 tf=10000;
69 //Condicao-inicial-alturas:
70 y1_inicial=0;
71 y2_inicial=0;
72 y1_e(1)=y1_inicial;
73 y2_e(1)=y2_inicial;
74 y1_rk(1)=y1_inicial;
75 y2_rk(1)=y2_inicial;
76 //passo-de-integração:
77 h=10;
78 //numero-de-passos:
79 n=round((tf-t(1)/h));
80 function fun=y1(h1, h2)
81     fun = -(Qe - sqrt(rho*g*(h1-h2)/R)) * (1/S)
82 endfunction
83 function fun=y2(h1, h2)
84     fun = (sqrt(rho*g*(h1-h2)/R) - sqrt(rho*g*h2/R)) * (1/S)
85 endfunction
86
87 //Método-de-Euler:
88 for i=1:n
89     t(i+1)=t(i)+h;
90     y1_e(i+1)=y1_e(i)+h*y1(y1_e(i), y2_e(i));
91     y2_e(i+1)=y2_e(i)+h*y2(y1_e(i), y2_e(i));
92 end
93
94
95 //Método-de-Runge-Kutta:
96 for i=1:n
97     k11=y1(y1_rk(i), y2_rk(i));
98     k21=y2(y1_rk(i), y2_rk(i));
99     k12=y1(y1_rk(i)+(h/2)*k11, y2_rk(i)+(h/2)*k21);
100    k22=y2(y1_rk(i)+(h/2)*k11, y2_rk(i)+(h/2)*k21);
101    k13=y1(y1_rk(i)+(h/2)*k12, y2_rk(i)+(h/2)*k22);
102    k23=y2(y1_rk(i)+(h/2)*k12, y2_rk(i)+(h/2)*k22);
103    k14=y1(y1_rk(i)+h*k13, y2_rk(i)+h*k23);
104    k24=y2(y1_rk(i)+h*k13, y2_rk(i)+h*k23);
105    y1_rk(i+1)=y1_rk(i)+(h/6)*(k11+2*k12+2*k13+k14);
106    y2_rk(i+1)=y2_rk(i)+(h/6)*(k21+2*k22+2*k23+k24);
107 end
108
109 scf(2)
110 xtitle("Método-de-Euler-dois-reservatório", "Tempo", "altura")
111 plot(t, y1_e)
112 plot(t, y2_e, 'r')
113 legend(['Reservatório-1'; 'Reservatório-2']);
114 scf(3)
115 xtitle("Método-de-Runge-Kutta-dois-reservatório", "Tempo", "altura")
116 plot(t, y1_rk)
117 plot(t, y2_rk, 'r')
118 legend(['Reservatório-1'; 'Reservatório-2']);

```

- Resultados

